

五洋建設 技術研究所 今井 五郎

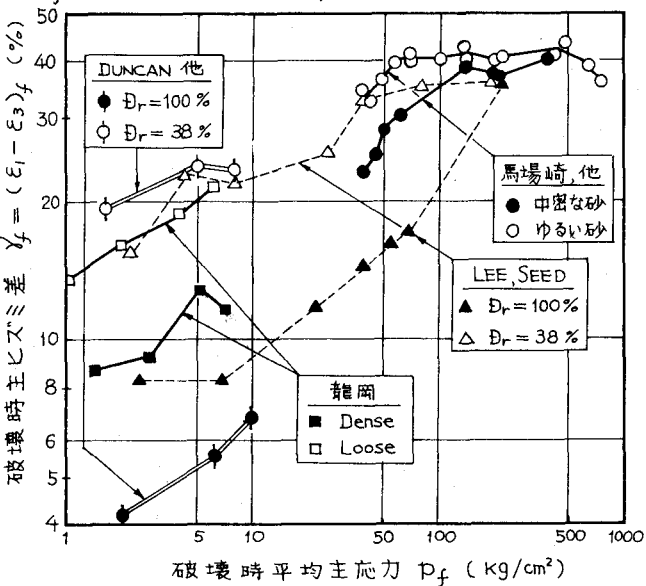
はじめに 砂やレキなど粒状体の応力・歪関係を定める研究が精力的に行なわれている。筆者はその関係そのものを扱うのではなく、破壊に至るまでの全ヒズミ量が示す性質について、従来の実験データを基に考察を進めている。その際、 $\gamma_f = (\varepsilon_1 - \varepsilon_3)_f$  と  $K_f = (\varepsilon_1 + \varepsilon_3)_f$  なる2つのヒズミ量が、通常の三軸圧縮テスト ( $\sigma_2 = \sigma_3$ ) の整理にとって大切であると考えている。さて、 $\gamma_f \cdot K_f$  のそれそれは良く知られているように、供試体の初期密度や拘束圧の大小によって異なる値をとる。一般に密度の小さい程、そして拘束圧の大きい程、破壊時の  $\gamma_f \cdot K_f$  値は大きくなる。今回は、この問題について多少調べて得た結果を報告し、考察を加えてみた。採用させて頂いたデータは前回のそれと同じである。<sup>1)</sup>

破壊時の主ヒズミ差  $\gamma_f$  図-1は、 $\gamma_f$  と破壊時の平均主応力  $p_f = (\sigma_1 + 2\sigma_3)_f / 3$  の関係を示したもので、 $\gamma_f$ 、 $p_f$  ともに対数表示してある。低拘束圧のデータとして、龍岡と DUNCAN <sup>2) 4)</sup> らのものを、高拘束圧に対するものとして馬場崎らのデータ <sup>3) 5)</sup> を、中間に LEE <sup>6)</sup> らのものを選んだ。多少のバラツキはあるが、 $p_f$  の大きな範囲で  $\log \gamma_f$  と  $\log p_f$  がほぼ直線関係にあると見て良い。すなわち、この範囲で  $\gamma_f$  は  $p_f^n$  に比例するとして大過ないようである。ところが、ある値以上の  $p_f$  に対しては  $\gamma_f$  は一定値に収束し、密度による差があらわれなくなる。密度による  $\gamma_f$  の差は、ある  $p_f$  の値以下の範囲で生じ、ゆるい砂ほど大きな  $\gamma_f$  を示す。

破壊時の主ヒズミ和  $K_f$  全く同様の整理を  $K_f$  に対して行なったものが図-2に示されている。図-1と同じ傾向を示していることがわかる。それは、先に報告した <sup>1)</sup>  $\gamma_f$  と  $K_f$  の間に直線相関が存在するということの根柢ともなっている。さて、 $\gamma_f \sim p_f$  と同様に、ある  $p_f$  値以上で  $K_f$  は密度に無関係な一定値に収束している。これは高拘束圧の下では初期密度の差や構造の差が消失してしまうことを示すのだろう。また、当然のことながら、密度の小さい砂は大きな  $K_f$  値を示している。しかし、その砂の種類による差は、密詰めの砂よりも小さいことが伺える。

さて、 $K_f$  は一種のセン断時の圧縮量の大小を示すと考えられる。 $K_f$ 、 $\gamma_f$  共に  $p_f$  に対して同様の傾向を示しているので、同一の破壊時セン断ヒズミ  $\gamma_f$  に対して、破壊時の  $K_f$  がどの程度になつてゐるかを表わす量  $M_f = K_f / \gamma_f$  を定義すると、 $M_f$  はセン断破壊時の圧縮量を示すインデックスとなる。

$M_f = K_f / \gamma_f$  について 図-3は  $M_f$  と  $p_f$  との関係を両対数でプロットしたものである。図-1、図-2に比して、バラツキの程度が小さくなっている。傾向は  $K_f \sim p_f$  のそれに相似している。当然ゆるい砂の  $M_f$  は大きいが、ここで注目したいのは、 $p_f$  の増加

図-1 破壊時の  $\gamma_f \sim p_f$  関係

に対する  $M_f$  の増加率である。龍岡の密詰砂の  $M_f$  の増加率は極めて大きく、DUNCANのデータに示されるそれは小さい。これは、拘束圧の増大によって、せん断破壊時の圧縮量がどの程度増加するかの相異を表わし、粒子破碎の難易と密接な関係を有するものと考えられる。おそらく、粒子破碎の難な粒状体ほど  $P_f$  に伴う  $M_f$  の変化が小さいであろう。

図-3の教えるところは、ある  $P_f$  値以下では

$$M_f = \frac{K_f}{\gamma_f} = A(p_f^m)$$

が成り立つということである。A は密度に関係し、m は密度と粒子破碎の難易に関係すると考えて良いだろう。上式は、破壊時のヒズミ関係と、破壊時の拘束圧との関係を表現している。 $m=0$  は  $M_f=A$ (定数) を示し、粒子破碎のない剛体粒子で構成された粒状体の破壊時直線関係を示すものと考えられる。

ところで、ROWE の stress-dilatancy 式  $\sigma_1/\sigma_3 = -2K d\epsilon_3/d\epsilon_1$  を  $dY, dK$  に変換し、 $T = Y/\gamma_f$  として  $Y$  を正規化してやると

$$M_f = \int_0^1 \frac{K}{K + \sigma_1/\sigma_3} dT - 1$$

が得られる。 $M_f$  は単なる便宜的な量ではなく、或る程度の物理的根拠をもっていることが知れよう。

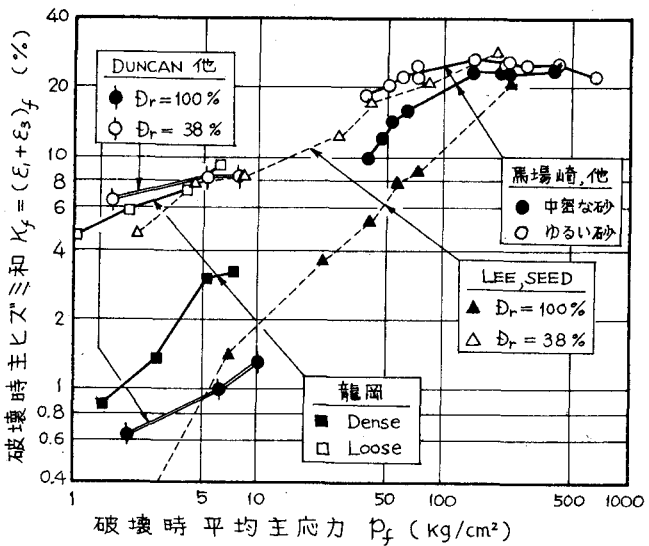


図-2 破壊時の  $Y_f$  ～  $P_f$  関係

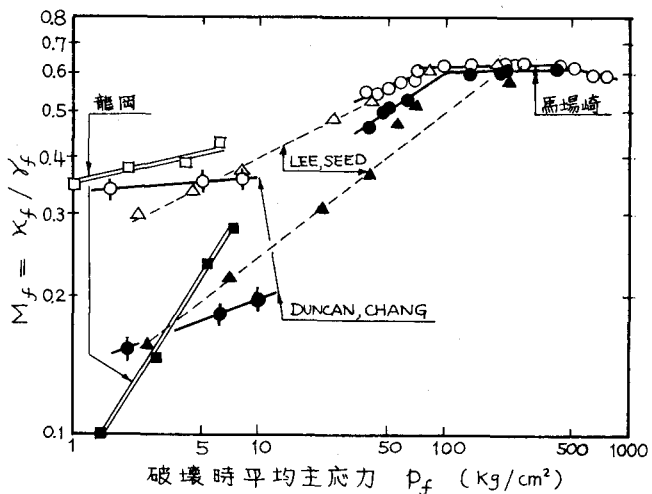


図-3  $M_f$  ～  $P_f$  関係図

わりに 多くのデータを整理してみると、 $Y_f$ 、 $K_f$  の夫々を別個に扱うよりも、 $M_f$  を扱う方がデータのバラツキがはるかに小さいようである。せん断に因するヒズミ  $Y_f$  と圧縮に因するヒズミ  $K_f$  が相互に関連し合っていることの証左であろう。両者を統一して扱うことが大切に思える。このことは、先に報告した  $K_f$ - $Y_f$  の直線相関の存在からも言えることである。常日頃ご指導を頂き、気兼に discussion に応じて下さる最上教授ならびに意見交換をして下さる土研の龍岡氏、電力中研の徳江氏に感謝致します。

- 1) 最上・今井 「三軸圧縮試験における砂の破壊時ヒズミ関係」(1975) 第10回土質工学研究発表会
- 2) 龍岡 「三軸せん断装置による砂の変形特性の基礎的研究」(1972) 博士論文
- 3) 馬場崎・大木・鈴木 「高圧下における土の性質に関する研究」(1973) 第8回土質工学研究発表会
- 4) DUNCAN・CHANG "Nonlinear Analysis of Stress and Strain in Soils" (1970) ASCE, SM5, Sept.
- 5) LEE・SEED "Drained Strength Characteristic of Sands" (1967) ASCE, SM6, Nov.